

تحلیل رخساره‌ها و تفسیر محیطی اثر رخساره‌های گلوسی‌فانجیتس و کروزیانا در سازند آیتمامیر (ناحیه بزنگان حوضه کپه‌داغ، شمال خاوری ایران)

راهله عقیقی^۱، اسدالله محبوبی^{۲*}، سیدرضا موسوی‌حرمی^۳ و محمد خانه‌باد^۴

۱، ۲، ۳ و ۴- گروه زمین‌شناسی، دانشکده علوم‌پایه، دانشگاه فردوسی مشهد، مشهد

نویسنده مسئول: mahboubi@um.ac.ir

دریافت: ۹۵/۸/۲۳ پذیرش: ۹۶/۳/۳۰

چکیده

سازند آیتمامیر (آلین- سنومانین) از ماسه‌سنگ، شیل، سیلتستون و چندین لایه سنگ‌آهک تشکیل شده است. برش‌های آرنج و قرقه در خاور حوضه کپه‌داغ برای تفکیک اثر رخساره‌ها بررسی شدند. در این پژوهش انواع اثر فسیل‌ها و اثر رخساره‌ها شناسایی شدند و ارتباط آن‌ها با محیط رسوبی تفسیر شده است. در برش‌های مورد بررسی اثر فسیل‌ها دارای *Cylinderichnous Arenicolites* isp. و *Thalassinoides* isp. و *Palaeophycustubularis*. *Palaeophycusheberti*. *Ophiomorpha* isp. *concentricus* رخساره‌های گلوسی‌فانجیتس و کروزیانا واقع شده‌اند. اثر رخساره گلوسی‌فانجیتس با تنوع کم اثر فسیل‌ها و سوگیری مایل تا عمودی تالاسینوئیدهای ۷ شکل، پالنوفیکوس و آرنوکولیتس و همراهی با ساخته‌های رسوبی لایه‌بندی مورب تراف و لایه بندی مورب مسطح در مجموعه سدی با انرژی بالا ساخته شده است. در حالی که اثر رخساره کروزیانا با تنوع بیشتر و اثر فسیل‌های عمدتاً مایل تا افقی در بستر ماسه‌ای با جورش‌دگی کم تا متوسط در شرایط کم انرژی محیط حاشیه ساحل تشکیل گردیده است.

واژه‌های کلیدی: اثر فسیل، اثر رخساره، کروزیانا، گلوسی‌فانجیتس، آیتمامیر

است که ارتباط مستقیمی با تفسیر محیط‌رسوبی دیرینه دارد (بن و همکاران، ۲۰۰۴). از آنجا که رسوبات آواری-کربناته سازند آیتمامیر در حوضه رسوبی کپه‌داغ دارای مجموعه گوناگونی از اثر فسیل‌ها با حفظشدنی خوب است بنابراین با بهره‌گیری از شواهد ایکنولوژی موجود در رخمنونهای سنگی این سازند به بررسی پارامترهای محیطی پرداخته شد. هدف از انجام این پژوهش، شناسایی اثر فسیل‌های سازند آیتمامیر و تفسیر ارتباط اثر رخساره‌های موجود با محیط رسوبی است.

مواد و روش‌ها

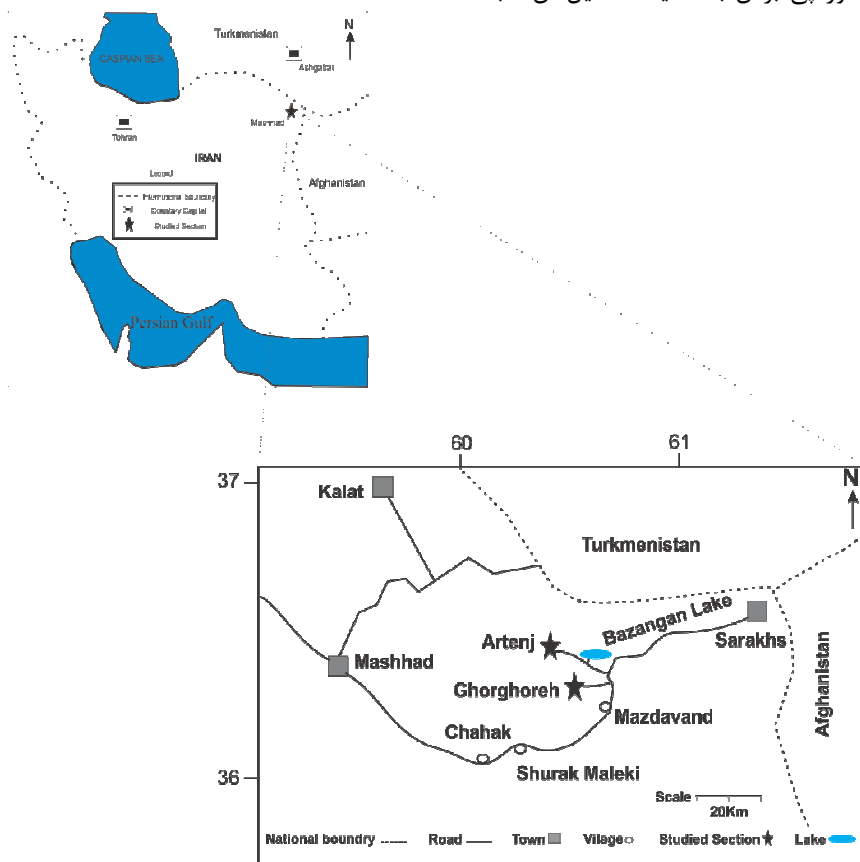
در این پژوهش دو برش از سازند آیتمامیر در جنوب روستاهای آرنج با ضخامت ۳۵۰ متر در عرض جغرافیایی "۲۰°۱۲' ۳۶° شمالي و طول جغرافیایي ۴۷° ۴۷' ۶۰° خاوری و قرقه با ضخامت ۱۷۴ متر در عرض جغرافیایي " ۳۱°۰' ۳۶° شمالي و طول جغرافیایي ۱۵° ۳۶' ۶۰° خاوری اندازه‌گیری و نمونه‌برداری شده است (شکل ۱). اطلاعات مورد نیاز شامل داده‌های بافتی، ساخته‌های رسوبی غیرزیست‌زادی و زیستی

مقدمه
شناسایی رخساره‌های سنگی و تغییرات آن‌ها به صورت جانبی و عمودی، همراه با ویژگی‌های سنتگ‌شناسی و اثر فسیل‌ها، منجر به تفسیر محیط‌رسوبی دیرینه می‌شود. اثر فسیل‌ها از شاخص‌های محیطی بسیار مهم محسوب می‌گردد و اهمیت آن‌ها در بازسازی محیط‌های رسوبی دیرینه (فری و گلدرینگ، ۱۹۹۲) و به ویژه در ارتباط با سطح انرژی آب، فرآیندهای هیدرودینامیک، پایداری بستر و توزیع مواد آلی است (دردیگوئز توار و فرنز والرا، ۲۰۰۸). مجموعه اثر فسیل‌ها را می‌توان بر پایه الگوهای مختلف محیط‌های دیرینه به تعدادی اثر رخساره تقسیم-بندی کرد که هر یک نشان‌دهنده سازش رفتار جانداران اثرباز با عوامل محیطی است (سیلاخر، ۲۰۰۶). ترکیب اثر رخساره‌ها با توجه به تغییرات ژرفای محیط رسوبی و فاکتورهای محیطی (میزان رسوب‌گذاری، اندازه دانه‌های رسوب، شوری، اکسیژن، میزان مواد غذایی و نوع پراکندگی آن، دما، آشفتگی آب و شرایط تافونومی) تغییر می‌کند (اکدال و همکاران، ۱۹۸۴). مهم‌ترین فاکتور توزیع اثر فسیل‌ها و طبقه‌بندی اثر رخساره‌ها نوع بستر

استفاده از تقسیم‌بندی سیلاخر (۱۹۶۷) شناسایی شد و ریست‌آشتفتگی با بهره‌گیری از روش تیلور و گلدرینگ (۱۹۶۷) تعیین گردید.

برای شناسایی رخساره‌های سنگی تعداد ۹۰ برش نازک و ۳۵ نمونه شیلی شسته شده، مطالعه شد. سنگ‌های سیلیسی آواری به روش فولک (۱۹۸۰) و سنگ‌های کربناته به روش امبری و کلوان (۱۹۷۱) نام‌گذاری شدند. برای شناسایی درصد فراوانی دانه‌های آواری از نمودارهای مقایسه‌ای باسل و بسلینی (۱۹۶۵) و فلوگل (۲۰۱۰) بهره‌گیری شد.

یادداشت‌برداری شدند. همچنین بررسی ویژگی‌های سنگ‌شناسی لایه میزان و مطالعه میکرو‌سکوپی نمونه‌های سنگی برداشت شده از برش‌های چینه‌شناسی نیز انجام پذیرفت. اثر فسیل‌ها در روی زمین به صورت سامان‌مند شناسایی گردید و اطلاعاتی مانند شکل، اندازه، و ابعاد، نوع حفظ‌شدگی نسبت به سطوح لایه‌بندی، حضور آستریندی یا دیوار، نوع دیواره، ساختهای پس ریز، بود یا نبود انشعاب، ویژگی بافتی رسوبات پرکننده حفرات و مقایسه آن با رسوبات سنگ میزان و سایر داده‌های مورد نیاز از روی اثر فسیل‌ها به دست آمد و اثر رخساره‌ها به منظور پی بردن به محیط تشکیل آن‌ها با



شکل ۱. جایگاه جغرافیایی برش‌های مورد بررسی سازند آیتمیر

رخساره سنگی ماسه‌سنگ با لامیناسیون مورب

مسطح (Sp)

رخساره سنگی Sp در واحدی به ضخامت ۲ متر شناسایی شده که دارای گسترش جانی بالا است و همیری آن با رخساره‌های زیرین و بالایی تدریجی است. آشتفتگی‌های زیستی شامل تالاسینوئیدس به صورت پراکنده وجود دارد و دارای ساخت رسوبی لامیناسیون مورب مسطح زاویه‌دار (شکل ۲ A) است که این رخساره سنگی همراه

نتایج و بحث

رخساره‌های سنگی

رخساره‌های سنگی سازند آیتمیر به دو گروه آواری و کربناته تقسیم شده است (جدول ۱). رخساره‌های سنگی آواری شامل دو دسته ماسه‌سنگی و گل‌سنگی به شرح زیر است:

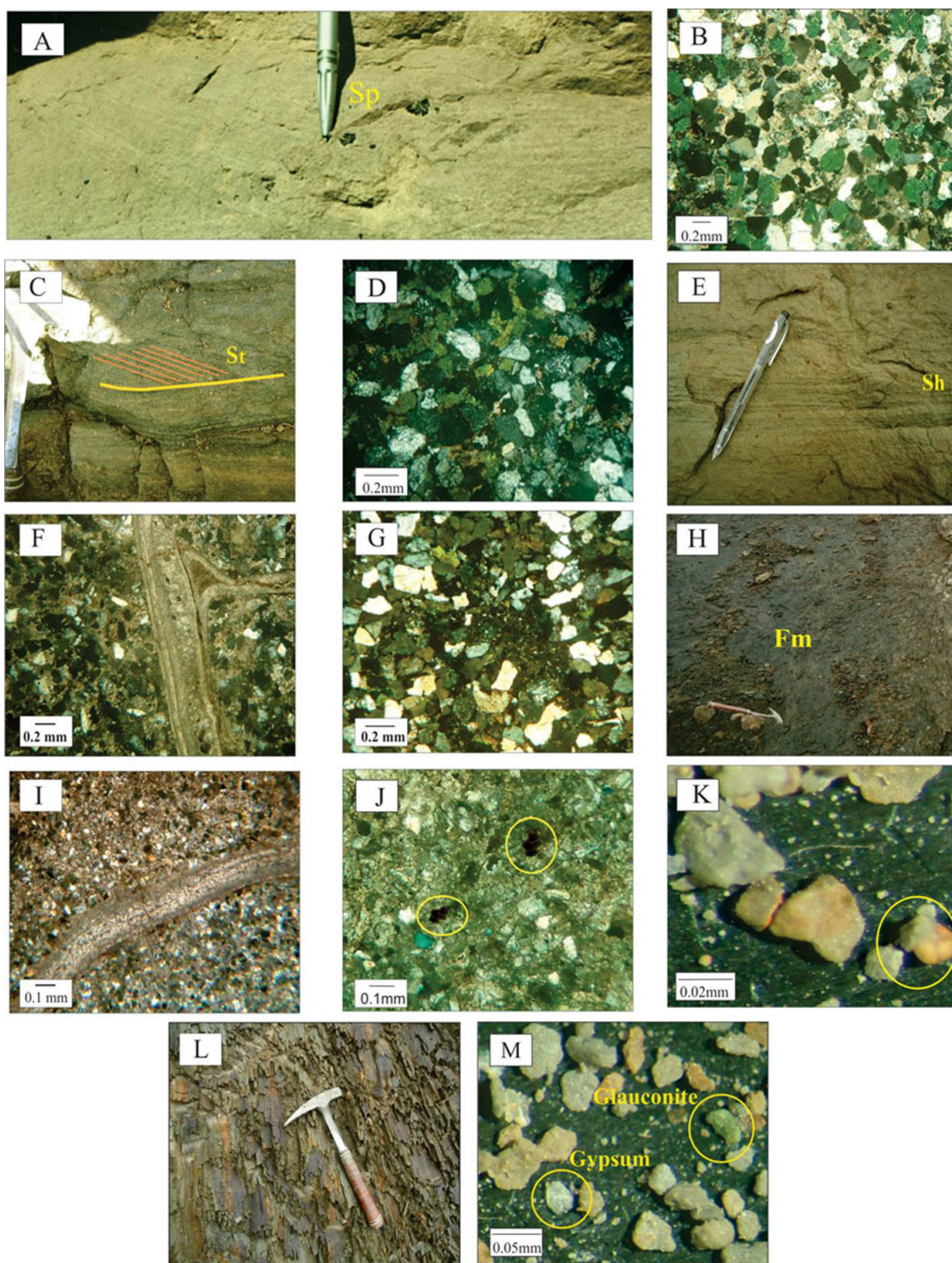
گلاکونیت‌های درجا (عقیقی و همکاران، ۱۳۹۳) نیز نشانگر محیط دریایی کم‌عمق پرانرژی است (چافتر و رید، ۲۰۰۰ و چانگ و همکاران، ۲۰۰۸) فراوانی کم اثرهای فسیلی هم می‌تواند ناشی از انرژی بالای محیط باشد (سلی، ۱۹۹۶). اثر فسیل عمودی تا مایل تالاسینوئیدس نیز در محیط حاشیه ساحل و ساحل تشکیل می‌شود (فورزیش و همکاران، ۲۰۰۶). لایه بندی مورب از نوع تراف نیز می‌تواند نشان از محیط پرانرژی باشد (العذابی و العربی، ۲۰۰۵). شواهد نشان‌دهنده محیط پرانرژی سدی یا بخش بالایی حاشیه ساحل است.

رخساره سنگی ماسهسنگ با چینه‌بندی افقی (Sh) در رخساره سنگی Sh طبقات ماسهسنگی با ضخامت‌های مختلف و همراه لامیناسیون و لایه‌بندی افقی (شکل ۲ E) هستند که جزء فراوان‌ترین رخساره‌های موجود در نهشته‌های مورد بررسی است که به طور پراکنده از ابتدا تا انتهای سازند وجود دارد. همیری زیرین و بالای آن در بعضی نقاط مشخص و در برخی موارد تدریجی است. این رخساره در بعضی لایه‌ها دارای اثر فسیل‌های *Cylinderichnous concentricus*, *Palaeeophycus tubularis*, *isp. Thalassionoides*, *isp. Arenicolites*, *Palaeeophycus heberti* و *Ophiomorpha* *isp.* است. این رخساره سنگی شامل پتروفاسیس *Ss₁* است. وجود ۱۰-۷ درصد خرده اسکلتی ایستر و سایر دوکفه‌ای‌ها و جورشده‌گی نسبتاً کم و رسیدگی بافتی کمتر (نیمه رسیده) این پتروفاسیس را از پتروفاسیس *Ss₁* جدا می‌کند (شکل ۲ F). این رخساره که از ماسهسنگ‌های گلاکونیتی دانه‌ریز تا متوسط دارای خرده‌های فسیلی دوکفه‌ای تشکیل شده، دارای جورشده‌گی کم است و در محیط دریایی کم عمق نهشته شده است (آموروسی، ۱۹۹۷ و چانگ و همکاران، ۲۰۰۸). اثر فسیل‌های افقی تا مایل *Thalassionoides*, *Palaeeophycus*, *Cylinderichnous concentricus*, *isp. Ophiomorpha* *isp.*, *Arenicolites*, *tubularis* و *isp.* مربوط به ایکنوفاسیس کروزیانا و نشانگر انرژی متوسط تا پایین در حاشیه ساحل هستند (فورزیش و همکاران، ۲۰۰۶). این ناحیه دارای سطح انرژی پایین‌تری نسبت به محیط سدی بوده و دانه‌های تشکیل‌دهنده رسوبات در این ناحیه دانه ریزتر هستند.

با رخساره ماسهسنگی St مشاهده شد. این رخساره سنگی از پتروفاسیس *Ss₁* تشکیل شده که دارای ۴۵٪ کوارتز، ۵٪ فلدسپات و ۸٪ خرده‌سنگ چرتی است، همچنین به طور میانگین شامل ۳۰-۲۰ درصد گلاکونیت و ۱٪ میکا و کانی‌های سنگین است. اجزای سازنده توسط ماسهسنگ‌های گلاکونیتی پتروفاسیس *Ss₁* از نوع ساب آرکوز تا ساب لیت‌آرنایت، دانه متوسط، بدون رس با جورشده‌گی خوب و دانه‌های خوب گردشده هستند (شکل ۲ B) که نشان از یک دریایی کم‌عمق با انرژی متوسط تا زیاد است. حضور گلاکونیت درجا (عقیقی و همکاران، ۱۳۹۳) که از محیط‌های دریایی کم‌عمق پرانرژی گزارش شده‌اند نیز دلیل دیگری بر تشکیل این ماسهسنگ‌ها در محیط دریایی کم عمق و پرانرژی است (آموروسی، ۱۹۹۷) گلاکونیت‌های نیمه‌برجا با آثار شکستگی و خردشده‌گی نیز مشاهده شد (عقیقی و همکاران، ۱۳۹۲) که از جایجایی محلی و محدود در بستر حوضه تشکیل شده است (آموروسی، ۱۹۹۷). حضور اثرهای فسیلی عمودی تالاسینوئیدس نیز نشانگر محیط حاشیه ساحل و ساحل هستند که زیر تاثیر موجودات حفار ایجاد شدند (فورزیش، ۲۰۰۶) تنوع کم اثر فسیل‌ها و همچنین پراکنده‌گی آن‌ها می‌تواند دلیل بر انرژی بالای محیط باشد (فورزیش، ۲۰۰۶) چنان‌که گفته شد در این ماسهسنگ‌ها لامیناسیون مورب مسطح نیز مشاهده شد. شواهد نشان‌دهنده محیط پرانرژی سدی یا بخش بالایی حاشیه ساحل است.

رخساره سنگی ماسهسنگ با لامیناسیون مورب ناوادانی (St)

رخساره سنگی St دارای ساخت رسوی لامیناسیون مورب ناوادانی است و در واحدی سبز زنگ به ضخامت ۲ متر (شکل ۲ C) و همراه با آشفتگی زیستی تالاسینوئیدس و رخساره Sp مشاهده شد. این رخساره در واحد زیرین توالی قرار دارد که همیری آن با رخساره‌های زیرین و بالایی تدریجی است. رخساره سنگی St نیز از پتروفاسیس *Ss₁* تشکیل شده است که رسیدگی بافتی خوب، نبود رس با جورشده‌گی خوب و دانه‌های خوب گردشده (شکل ۲ D)، می‌تواند دلیلی بر تشکیل این رخساره در محیط پرانرژی در دریایی کم‌عمق باشد.



شکل ۲. تصویرهای رخساره‌های رسوبی، A: رخساره سنگی **Sp**، B: تصویر میکروسکوپی رخساره **Sp** (XPL)، C: رخساره **St**، D: تصویر میکروسکوپی رخساره سنگی **St** (XPL)، E: تصویر میکروسکوپی رخساره **Sh** (XPL)، F: تصویر میکروسکوپی رخساره **Sh** (XPL)، G: تصویر میکروسکوپی رخساره ماسه سنگ سیلتی رخساره **Sh** (XPL)، H: تصویر میکروسکوپی رخساره **Sm** (XPL)، I: تصویر میکروسکوپی سیلتستون دارای خرده اسکلتی دوکفه‌ای رخساره **Sm** (XPL)، J: تصویر میکروسکوپی خرده‌های فسیلی هتروهلیکس در سیلتستون رخساره **Sm** (XPL)، K: تصویر میکروسکوپی خرده فسیلی گلوبوتالیا در شیل‌های شسته شده رخساره **Sm** (XPL)، L: تصویر میکروسکوپی رخساره **Fl**، M: تصویر میکروسکوپی سیلتستون شسته شده دارای ژیپس و گلاکونیت رخساره **Fl**

سیلتسنون ماسه‌ای Z_3 نیز هست که دارای گلاکونیت، خرده اسکلتی دوکفه‌ای و اثر فسیل *Concentricus* است. این اثر فسیل در شرایط انرژی متوسط تا پایین در محدوده بخش میانی تا پایینی حاشیه ساحل یافت می‌شود (چانگ و همکاران، ۲۰۰۸ و فورزیش و همکاران، ۲۰۰۶).

رخساره سنگی سیلتسنون و گلسنگ لامینه (Fl)
رخساره سنگی Fl شامل شیل و سیلتسنون‌هایی است که دارای لامیناسیون هستند (شکل ۲L) و با ضخامت‌های کم و زیاد و به رنگ‌های سبز تا خاکستری در بخش‌های زیرین و بالایی سازند یافت می‌شود. در این رخساره ژیپس (شکل ۲M) و مقادیر اندکی گلاکونیت‌های نوظهور (سبز کمرنگ) (شکل ۲H) نیز مشاهده شد. رخساره سنگی Fl شامل پتروفاسیس‌های Sh_1 و Z_1 است. در این رخساره شیل و سیلتسنون‌های خاکستری همراه با مقدار زیادی ژیپس و بدون گلاکونی و خرده‌های اسکلتی یا مقادیر اندکی گلاکونیت‌های سبز کمرنگ مشاهده شد (شکل ۲F). وجود ژیپس بالا نشان‌دهنده شرایط رسوب‌گذاری کم انرژی، کم عمق و درجه شوری به نسبت بالا است. شوری بالا و میزان اکسیژن متغیر منجر به کاهش میزان موجودات در محیط لاگون شده است. از طرفی نبود فسیل در این رخساره نشان‌دهنده نبود چرخش آب و شرایط مناسب برای زیست موجودات است (وارن، ۲۰۰۰). نبود گلاکونیت و مقادیر اندک آن به دلیل نبود شرایط لازم برای تشکیل گلاکونیت است. شوری عادی، چرخش کافی آب برای تامین یون‌های آهن و پتانسیم و همچنین وجود بستر مناسب از رسوبات، از جمله شرایط لازم برای تشکیل گلاکونیت‌ها هستند که در محیط‌های لاگون این شرایط فراهم نمی‌شود (چانگ و همکاران، ۲۰۰۸ و دیاز و همکاران، ۲۰۰۲). با توجه به این ویژگی‌های رسوبات در شرایط محیطی آرام با چرخش کم آب بر جای گذاشته شده‌اند (دیاز و همکاران، ۲۰۰۲).

رخساره‌های کربناتی

این مجموعه شامل ۳ رخساره C_1 , C_2 و C_3 است که از سمت دریا به خشکی عبارتند از:

رخساره سنگی ماسه‌سنگ توده‌ای (Sm)

این رخساره به رنگ سبز و سبز- خاکستری در نهشته‌های مورد بررسی گسترش زیادی دارد و از لحاظ ساختاری هیچ‌گونه ساختمان رسوبی غیر زیستی در آن مشاهده نمی‌شود و به صورت فشرده و توده‌ای هستند. در این رخساره اثر فسیل‌های *Paleophycusheberti* *Cylindrichnous* *Paleophycus tubularis*, *Thalassinoides* *isp.* و *concentricus* فسیلی دوکفه‌ای مشاهده شد. این رخساره سنگی از پتروفاسیس SS_3 تشکیل شده است که شامل ماسه‌سنگ سیلی در اندازه ماسه ریز و سیلت هستند. این پتروفاسیس دارای جورشدگی کم (شکل ۲G) و رسیدگی بافتی نیمه رسیده تا نارس است که از نظر ترکیبی مشابه پتروفاسیس SS_1 و از نوع ساب لیت‌آرنایت تا ساب آرکوز است که گاهی در این پتروفاسیس خرده‌های اسکلتی تا ۵٪ مشاهده می‌شود. ماسه‌های دانه‌ریز در بخش‌های عمیق‌تر حاشیه ساحل نهشته می‌شوند (تاکر، ۲۰۰۱) اثر فسیل *Cylindrichnous concentricus* نیز در شرایط انرژی متوسط تا پایین در محدوده بخش میانی تا پایینی حاشیه ساحل یافت می‌شود (چانگ و همکاران، ۲۰۰۶ و فورزیش و همکاران، ۲۰۰۶). از طرفی اثر فسیل‌های افقی مشاهده شده مربوط به ایکنوفاسیس کروزیانا و نشانگر انرژی نسبتاً پایین در حاشیه ساحل هستند (آکوئیر و همکاران، ۲۰۱۰) بر پایه شواهد زیر این رخساره سنگی در محیط حاشیه ساحل نهشته شده است.

رخساره سنگی سیلتسنون و گلسنگ توده‌ای (Fm)

رخساره سنگی Fm شامل شیل و سیلتسنون‌های سبز تا خاکستری و توده‌ای هستند (شکل ۲H) که با ضخامت زیاد و بیش‌تر در بخش‌های بالایی برش‌های مورد بررسی مشاهده شد. این رخساره سنگی شامل پتروفاسیس‌های شیلی Sh_2 و سیلتسنون‌های Z_2 هستند که دارای گلاکونیت‌های نیمه‌برجا و دوکفه‌ای (شکل ۲I) و خرده‌های فسیلی پلانکتون (عمدتاً هتروھلیکس (شکل ۲J) و گلوبروتالیا (شکل ۲K) هستند. خرده‌های فسیلی پلانکتون (عمدتاً هتروھلیکس) در شیل و سیلتسنون‌ها نشانگر محیط دریایی باز هستند (چانگ و همکاران، ۲۰۰۸). این رخساره سنگی شامل پتروفاسیس

۱۲ درصد براکیوپود و کمتر از ۱۰ درصد سایر خرده‌های اسکلتی بریوزوئر، گاستروپود و جلبک قرمز است. اکثر دوکفه‌ای‌ها به صورت خرد شده دیده می‌شوند. ۲۰ گلاکونیت‌ها به دو صورت برجا و نابرجا با فراوانی ۵-۵ درصد و اجزای آواری در اندازه ماسه ریز تا متوسط در حدود ۱۰-۱۵ درصد مشاهده شد که در زمینه‌ای از سیمان کلسیتی و گل‌آهکی قرار دارند. این رخساره با نبود سوگیری پوسته‌های فسیلی، خردشدنی و سایش نسبتاً بالا و فشردنی نسبتاً بالای قالب‌های فسیلی نشان از حمل دوباره خرده‌های اسکلتی و رسوب‌گذاری سریع به وسیله جریان‌های با انرژی متوسط تا بالا است. در این بخش فراوانی نوسانات انرژی هیدرودینامیکی داخل حوضه و تاثیر مداوم آن بر روی افق‌های زیستی موجب می‌شود زمینه دانه ریز مادستونی آن به طور غالب حمل شده و زمینه دانه درشت‌تر پکستونی- گرینستونی با آرایش چگال قالب‌های فسیلی باقی ماند. بنابراین رخساره کربناته C₂ در محیط حاشیه ساحل تشکیل شده است (عقیقی و همکاران، ۱۳۹۳).

روdestون دارای دوکفه‌ای، براکیوپود و خرده‌های اسکلتی (C₃)

رخساره C₃ به صورت افق‌آهکی به ضخامت ۲/۵ متر با خردشدنی و سایش بالا است (شکل ۳(E)) که ساختهای رسوبی مانند لایه بندی مورب مسطح بزرگ مقیاس و عدسی و اثر فسیل‌های فسیلی در آن Arenicolitesisp. و Paleophycus heberti isp. مشاهده شد. این رخساره سنگی شامل میکروفارسیس رسودستون دارای دوکفه‌ای، براکیوپود و سایر خرده‌های اسکلتی است که ۴۰ تا ۴۵ درصد آن دوکفه‌ای، ۱۵ درصد براکیوپود و کمتر از ۸ درصد جلبک قرمز، اکینودرم و بریوزوئر است که به صورت دانه‌پشتیبان در زمینه‌ای از سیمان کلسیتی قرار دارند (شکل ۳(F)). مقدار گلاکونیت در این رخساره حدود ۳-۲ درصد و دانه‌های آواری آن حدود ۳ درصد است. ساختهای رسوبی لایه بندی مورب مسطح (شکل ۳(G)) و لایه بندی مورب عدسی (شکل ۳(H)) و اثر فسیل‌های عمودی تا مایل نشان از رسوب‌گذاری در محیط با انرژی متوسط تا زیاد دارد (فورزیش و همکاران، ۱۳۹۶). نبود گل بیان‌گر حمل و نقل دانه‌های رسوبی

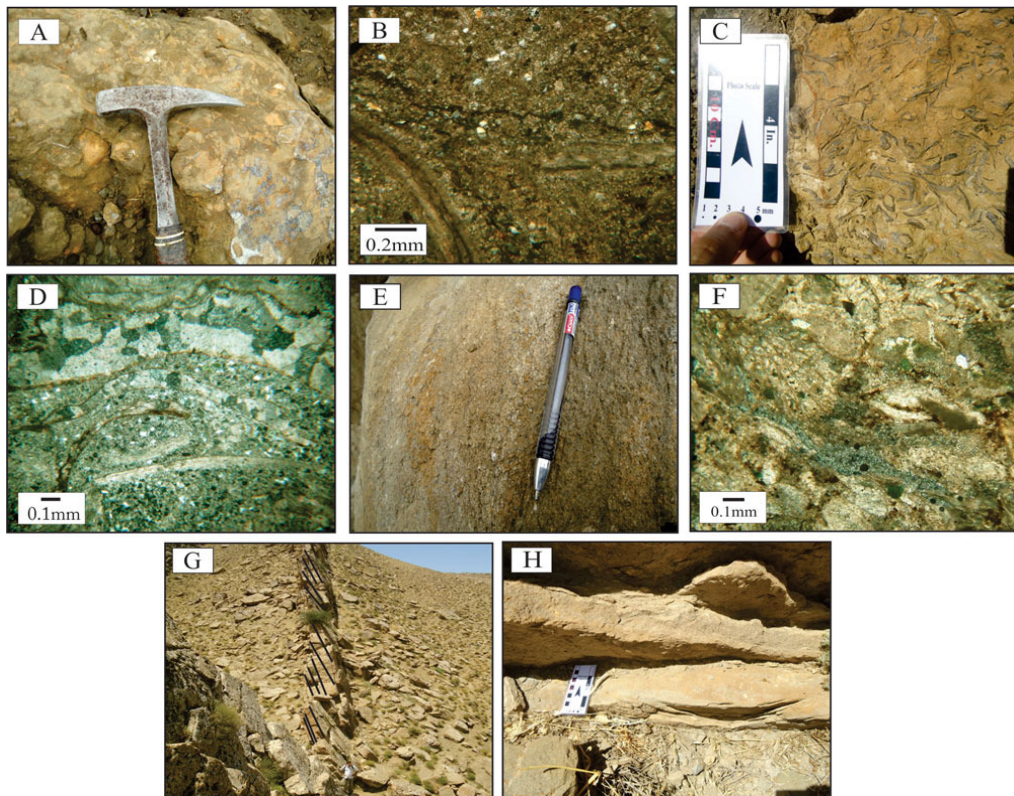
فلوتستون ماسه‌ای دارای دوکفه‌ای و براکیوپود (C₁)
این رخساره به صورت لایه‌هایی به ضخامت ۳۰ سانتی‌متر با فشردنی پایین از خرده‌های اسکلتی تقریباً سالم و جهت‌یافته با درجه پایین از سایش و خردشدنی (شکل ۳(A)) هستند. این رخساره شامل فلوتسون ماسه‌ای دارای دوکفه‌ای و براکیوپود است که دارای ۱۰ تا ۲۰ درصد دوکفه‌ای و ۵-۲ درصد براکیوپود است که در زمینه‌ای از گل‌آهکی و مقدار اندکی سیمان کلسیتی قرار دارند. مقدار گلاکونیت در آن حدود ۲-۱ درصد و دانه‌های آواری حدود ۱۲-۱۵ درصد است (شکل ۳(B)) و دوکفه‌ای‌ها به صورت سالم هستند. سوگیری، حفظشدنی خوب، درجه پایین سایش و خردشدنی خرده‌های اسکلتی که به دلیل حمل و نقل کوتاه و باقی ماندن خرده‌های اسکلتی در نزدیکی محل زیست آن‌ها است نشانگر محیط دریایی باز می‌باشد (خلیفه و همکاران، ۲۰۰۶). همچنین وجود زمینه‌ای از گل، حضور فسیل فرامینفرهای پلاژیک و فسیل‌های جانداران سازگار با شوری عادی دریا مانند براکیوپود نشان‌دهنده رسوب‌گذاری در محیط دریایی باز است (لئونید و همکاران، ۲۰۱۲ و محبوبی و همکاران، ۲۰۱۰). کاهش در اندازه خرده‌های اسکلتی و بالا رفتن نسبت ماتریکس در این رخساره می‌تواند مرتبط با کاهش سطح انرژی در واحدهای دور از ساحل باشد. زمینه این رخساره دارای دانه‌هایی در اندازه ماسه ریز و سیلت هستند که به احتمال زیاد از بخش‌های پرانرژی ساحلی حمل شده است. نبود فرسایش زیستی و پوشش زیستی بر روی قالب‌های فسیلی نشان از تدفین سریع و عدم باقی ماندن قالب‌های فسیل در بستر رسوبی برای زمان طولانی است. بر این اساس این رخساره در محیط دریایی باز تشکیل شده است (عقیقی و همکاران، ۱۳۹۳).

روdestون ماسه‌ای دارای دوکفه‌ای، براکیوپود، خرده‌های اسکلتی و گلاکونیت (C₂)

ضخامت این افق‌ها ۳۰-۲۵ سانتی‌متر است و خرده‌های اسکلتی دارای فشردنی نسبتاً بالا، بدون سوگیری و دارای خردشدنی، سایش و جورشدنی متوسط (شکل ۳(C)) هستند. این رخساره سنگی شامل روdestون ماسه‌ای دارای دوکفه‌ای، براکیوپود، خرده‌های اسکلتی و گلاکونیت است (شکل ۳(D)). اجزای اسکلتی رخساره C₂ شامل حدود ۳۰ درصد ایستر و سایر دوکفه‌ای‌ها، ۱۰ تا

در توالی مورد مطالعه و رخساره‌های همراه و ویژگی‌های ذکر شده این نهشته‌ها در بالای خط اثر امواج در سدهای نزدیک به ساحل در زمان پیشروی و بالا آمدن سطح آب دریا تشکیل شده‌اند (عقیقی و همکاران، ۱۳۹۳).

تحت تاثیر جریان‌های پرانرژی در محیط رسوب‌گذاری است (العذابی و العربی، ۲۰۰۵). بافت دانه پشتیبان نیز می‌تواند نشان‌دهنده انرژی متوسط تا زیاد محیط باشد (فورنیر و همکاران، ۲۰۰۴). بر پایه موقعیت این رخساره



شکل ۳. تصویرهای صحراوی رخساره‌های کربناته A: رخساره C₁. B: تصویر میکروسکوپی رخساره C₁, (XPL). C: رخساره C₂, (XPL). D: تصویر میکروسکوپی رخساره C₂ (XPL). E: رخساره C₃, (XPL). F: تصویر میکروسکوپی رخساره C₃ (XPL). G: ساخت رسوبی لایه بندی مورب مسطح، H: ساخت رسوبی لایه بندی مورب تراف

این آثار به صورت منفذهای مزدوج با حالت فرورفته در سطح بالای رسوب دیده می‌شوند. در بعضی موارد حفرات از ماسه‌های ریز یا گل پر شده و قابل جدایش از رسوبات دانه درشت‌تر سنگ میزبان هستند. این اثر فسیلی در برش‌های مورد بررسی مربوط محیط‌های با انرژی بالا و کم عمق ساحلی است (عقیقی و همکاران، ۱۳۹۳).

Cylindrichnus concentricus. این اثر فسیلی توسط جانوران تغذیه کننده از رسوبات تخریبی احتمالاً توسط کرم‌ها ایجاد شده است (آکوئیر و همکاران، ۲۰۱۰). در برش‌های مورد بررسی اثر فسیل Cylindrichnus concentricus به صورت حفاری‌های قوسی شکل افقی و مایل به قطر ۵ تا ۸ میلی‌متر که توسط لامینه‌های گلی

اثر فسیل‌ها

در این بخش نمونه‌های اثر فسیل‌های سازند آیتامیر توصیف می‌شوند. برای پرهیز از افزایش حجم نوشտار، تنها به شرح نمونه و در صورت نیاز به بحث کوتاه پرداخته می‌شود.

Arenicolitesisp: آرنسیکولایتس اثر اسکان جانوران تغذیه کننده از مواد معلق در آب است (پیکریل و همکاران، ۱۹۸۴). در این مجموعه اندازه، قطر، فاصله شاخه‌های لوله و عمق حفاری در نمونه‌های مختلف متفاوت است و حفرات آرنسیکولایتس قطر متغیر میان ۱۰ تا ۱۳ میلی‌متر دارند. فاصله لوله‌های عمودی از ۱۰ تا ۳۰ میلی‌متر متغیر است و حفاری بدون آستر و U شکل قائم در برش طولی و مدور در برش عرضی است (شکل A۴). در برش عرضی

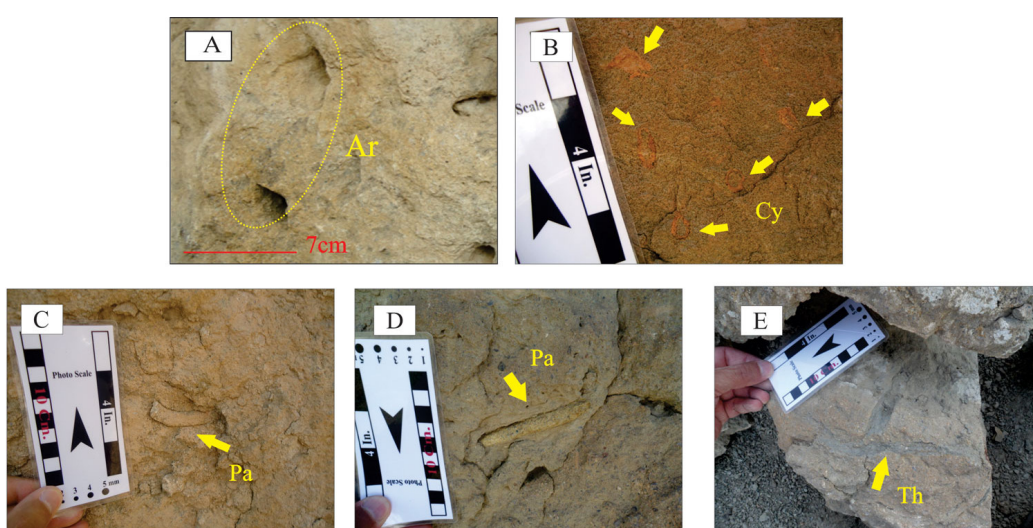
اندازه دانه درشت‌تر و جورش‌دگی بهتری نسبت به سنگ میزبان دارد.

Palaeophycus tubularis به طور کلی پالئوفیکوس به عنوان اثر حاصل از کرم‌های حلقوی تغذیه کننده از مواد معلق شناخته می‌شود (پاترا و سینق، ۲۰۱۵). *Paleophycus tubularis* به صورت حفره‌های استوانه تا نیمه استوانه، صاف و بدون تزئینات با قطر متغیر هستند (شکل ۴D). این اثر فسیل به صورت موازی تا نیمه موازی نسبت به سطح لایه بندی و مسیرهای مستقیم تا کمی موج و به ندرت با حالت منشعب نامنظم دیده می‌شود. سنگ‌شناسی پرشدگی حفره‌ها همسان با سنگ میزبان است و قطر این اثر گونه در نمونه‌های شناسایی شده بین ۵ تا ۱۰ میلی‌متر است. در مواردی که اختلاف سنگ‌شناسی رسوبات لایه زیرین با لایه بالای وجود داشته باشد، پرشدگی حفره‌های پالئوفیکوس متفاوت از سنگ میزبان می‌شود (پمپرتون و فری، ۱۹۸۲). چنین حالتی را می‌توان به تغییر در شرایط محیط‌رسوبی از لایه زیرین (دارای جاندار سازنده اثر فسیل) به لایه بالایی (منشأ رسوب پرکننده حفره‌های لایه زیرین) مرتبط دانست، که موجب اختلاف در جنس رسوبات لایه‌های زیرین و بالایی و در نهایت تفاوت سنگ‌شناسی در رسوبات پرکننده حفره‌ها با سنگ میزبان می‌شود (پمپرتون و فری، ۱۹۸۲).

هم‌مرکز احاطه و در مرکز توسط ماسه پر شده‌اند دیده می‌شود (شکل ۴B). این اثر فسیل در شرایط انرژی متوسط تا پایین در محدوده بخش میانی تا پایینی حاشیه ساحلی گزارش شده است (آکوئیر و همکاران، ۲۰۱۰).

Ophiomorpha isp: اثر فسیل *Ophiomorpha* توسط سخت‌پوستان حفار یا تغذیه کننده ایجاد می‌شود (فورزیش و همکاران، ۲۰۰۶). در سازند آیتمامیر این اثر فسیل به صورت لوله‌های مایل تا عمودی ساده و بدون انشعاب با قطر حدود ۱۵ میلی‌متر است (شکل ۶D). سطح خارجی دیواره حفاری به صورت غده‌ای و ناهموار اما سطح داخلی صاف است. در برش‌های مورد بررسی افیومورفا مربوط به نهشته‌های دریایی کم عمق و حاشیه دریایی پرانرژی نواحی ساحلی است (عقیقی و همکاران، ۱۳۹۳).

Paleophycus heberti تزئینات خارجی در آستر *Palaeophycusheberti* باعث تفكیک آن از *Palaeophycus tubularis* می‌شود. اثر گونه *Palaeophycus heberti* به صورت حفره‌های استوانه‌ای، دارای انشعاب یا بدون آن با حالت مستقیم تا انحنایدار و با دیواره صاف بدون تزئینات هستند (شکل ۴C). قطر آستر در *Palaeophycus heberti* دارای ستبرای بیشتری نسبت به *Palaeophycus tubularis* است. پرشدگی حفره‌ها همسان با رسوب سنگ میزبان است. آستر در این گونه به صورت رسوبات آگلوتینه است که



شکل ۴. A: اثر فسیل *Paleophycus tubularis*. B: اثر فسیل *Arenicolites* isp. C: اثر فسیل *Cylindrichnus concentricus* isp. D: اثر فسیل *Thalassinoides* isp. E: اثر فسیل *Paleophycus heberti* isp.

تا ۵ همراه با اثر فسیل‌های *Cylinderichnous concentricus* و *Thalassionoides isp.* وجود دارد که مربوط به اثر رخساره کروزیانا هستند. در این لایه اثر فسیل پالئوفیکوس فراوانی بالاتری داشت. در یک لایه ماسه‌سنگی دیگر به مقدار فراوان‌تر اثر فسیل *Cylinderichnous concentricus* فسیل *Palaeophycus heberti* دیده شد که اندیس زیست‌آشفتگی این لایه ۲ تا ۳ است. در لایه ماسه‌سنگی دیگری که دارای ساختهای رسوبی لایه بندی مورب مسطح و لایه بندی مورب ناودانی است به میزان کمی و با درجه زیست‌آشفتگی ۱ تا ۲ اثر فسیل *Talassinoides* یافت شد. در بخش‌های میانی‌تر برش مورد مطالعه در آرتنج اثر فسیل‌های *Arenicolites* و *Palaeophycusheberti isp.* در لایه کربناته دارای لایه بندی مورب مسطح تا ناودانی بزرگ مقیاس هستند که اندیس زیست‌آشفتگی در این لایه ۴ تا ۵ می‌باشد و اثر فسیل *Talassinoides* از فراوانی بسیار بالایی برخوردار است. اثر فسیل‌ها فقط در بخش پایینی برش‌های مورد مطالعه مشاهده شدند، در حالی که در بقیه رخساره‌ها آشفتگی زیستی کم و یا اصلاً وجود ندارد. در بخش پایین برش قرقره لایه ضخیم ماسه سنگی دانه متوسط تا دانه‌ریز با درجه زیست‌آشفتگی ۵ تا ۶ و همراه با اثر فسیل‌های *Ophiomorpha concentrica*, *Thalassionoides isp.*, *Paleophycus tubularis* و *Palaeophycusheberti*. دارد که اثر فسیل‌های *Cylinderichnous concentricus* از *Paleophycus tubularis* و *Thalassionoides isp.* فراوانی بالایی برخوردار هستند. سایر رخساره‌های شیلی و آهکی در برش آرتنج و قرقره بدون اثر فسیل بودند ولی در رخساره سیلتستون ماسه‌ای مربوط به حاشیه ساحل *Cylinderichnous concentricus* در برش قرقره اثر فسیل با درجه زیست‌آشفتگی ۰ تا ۱ مشاهده شد. در همه موارد یادشده ارتباط نزدیک بین اثر فسیل‌ها، ساختهای رسوبی و لیتولوژی وجود دارد. در برش آرتنج لایه‌های ماسه‌سنگی ضخیم‌تر و بیشتر و اندازه دانه‌ها نیز درشت‌تر است. در این برش تنوع و فراوانی اثر فسیل‌ها بیشتر است و اکثر واحدهای ماسه‌سنگی دارای زیست آشفتگی هستند و تحرک بستر بیشتر است.

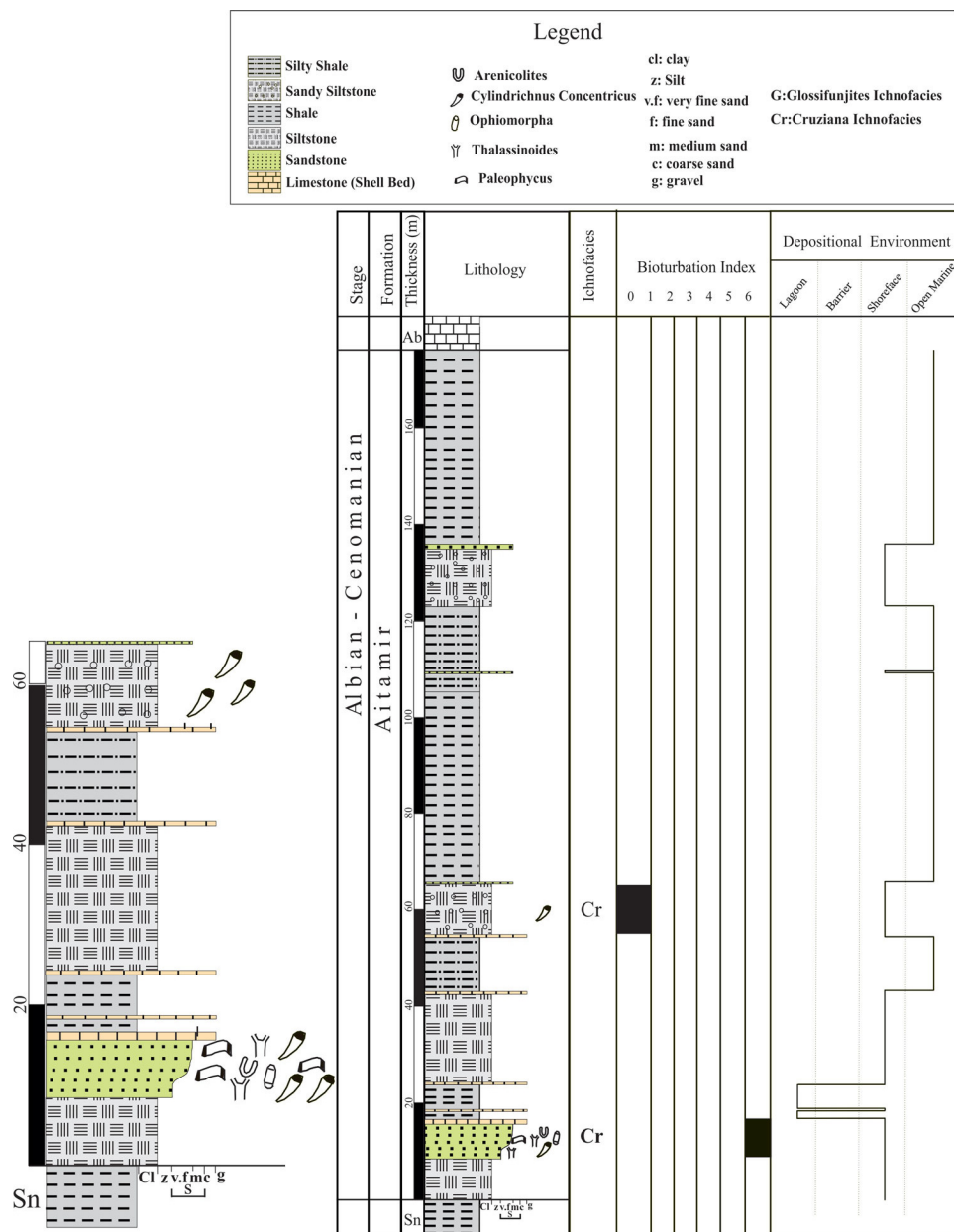
Thalassionoides isp.: این اثر فسیل به صورت حفاری‌های لوله‌ای شکل انتشاری است که روی سطح لایه‌بندی گسترش دارند و به صورت قالب در سطوح زیرین لایه‌بندی حفظ شده‌اند و در برخی مناطق انشعابات قائم نیز دارد. رسوبات پر کننده حفاری‌ها هم‌جنس با سنگ میزبان می‌باشند. انشعابات حفاری به صورت شاخه‌ای Y شکل و پیچیده و شاخه‌های کمی احننا در با قطرهای متفاوت دهليزهای ۱ تا ۱۰ سانتی‌متر دیده می‌شود (شکل ۴). حفاری‌ها در برش عرضی دایره‌ای تا بیضی شکل هستند. سطح بیرونی برخی حفاری‌ها به صورت صاف و هموار است و برخی داری بر جستگی‌ها و فروفتگی‌هایی است که شکل نامنظمی به سطح بیرونی دهليزها داده‌اند. شدت سیمان‌شدنی اثر فسیل بیش‌تر از سنگ میزبان است. *Talassinoides* هم‌چنین به صورت شبکه‌ای^۱ با قطرهای نامنظم و بیش از ۳۰ میلی‌متر به صورت کاملاً برجسته در سطح لایه‌های ماسه‌سنگی دیده می‌شوند (شکل ۵). برش عرضی باروها در این *Talassinoides* نیز به صورت دایره‌ای و بیضی هستند. در قاعده یک لایه کربناته شدیداً حفاری شده، حفظشده‌گی خوب *Talassinoides* شبکه‌ای با بر جستگی مثبت و درجه زیست‌آشفتگی بالا و هم‌چنین در سطح طبقات با بر جستگی منفی می‌تواند نشان‌دهنده دوره‌های نبود رسوب‌گذاری در طی کلونی شدن و توسعه بستر سفت^۲ در موقعیت حاشیه ساحل باشد (مالپاس و همکاران، ۲۰۰۵). *Talassinoides* در برش‌های مورد بررسی نشانگر محیط‌های حاشیه دریایی کم عمق و پرانرژی است (عقیقی و همکاران، ۱۳۹۳).

پراکنش اثر فسیل‌ها

در برش‌های مورد مطالعه مرکز اصلی اثر فسیل‌ها در بخش زیرین است (شکل‌های ۵ و ۶). در برش آرتنج اثر فسیل‌ها در رخساره‌های ماسه‌سنگی متوسط تا ریز دانه و رخساره کربناته مشاهده شدند. در قسمت پایین سازند اثر *Cylinderichnous heberti* و *Thalassionoides concentricus* یافت شدند. *Paleophycus tubularis* و *Palaeophycus* که در بعضی لایه‌ها همراه با خرددهای فسیل هستند. در قاعده، لایه ماسه‌سنگی ضخیم با اندیس زیست‌آشفتگی ۴

¹ Box-work

² Firm ground



شکل ۵. ستون چینه‌شناسی سازند آیتامیر در برش قرقه به همراه تغییرات اثرهای رخساره‌ای، اثربهای فسیلی و زیست‌آشفتگی با بهره‌گیری از روش تیلور و گلدرینگ (۱۹۶۷)

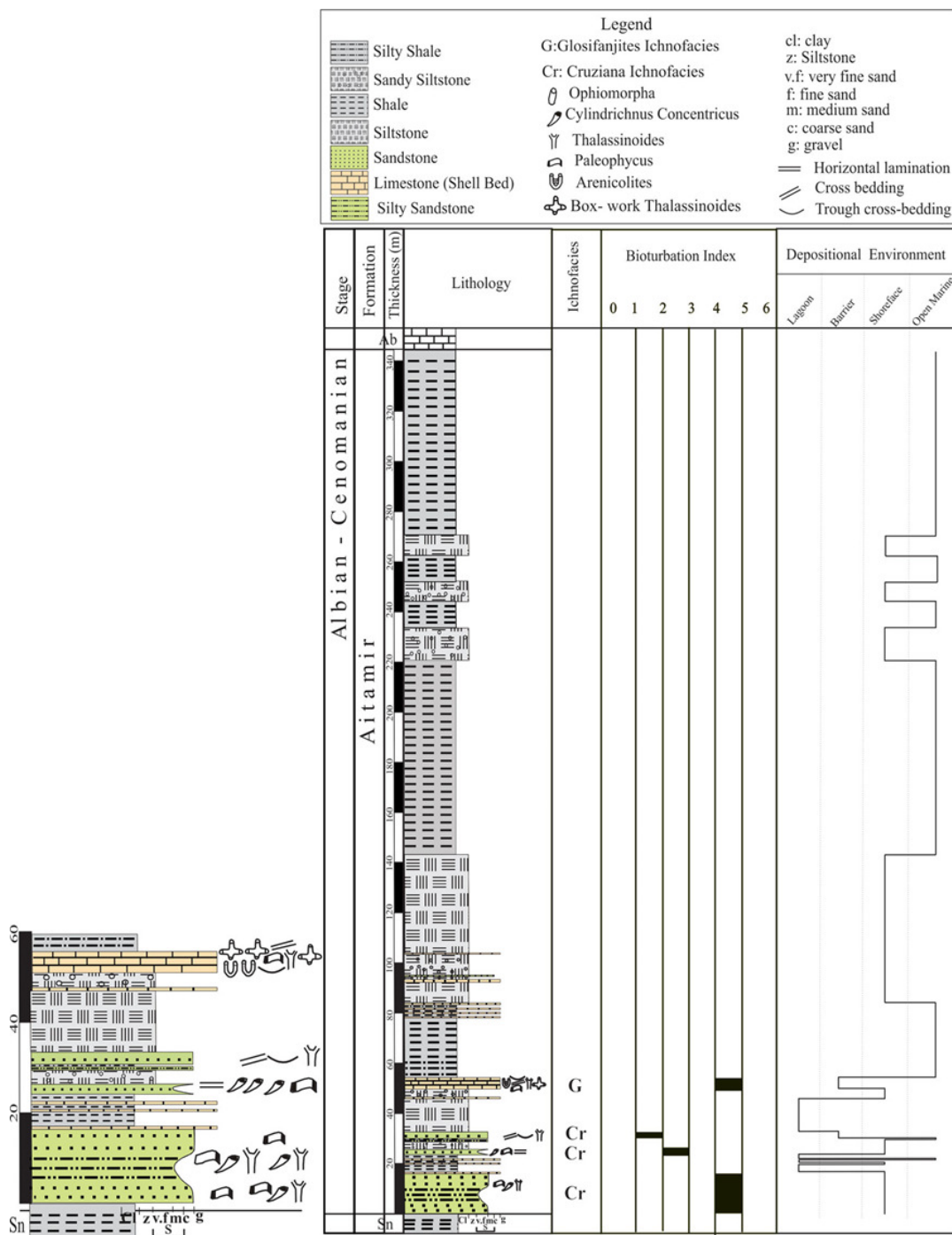
سکانسی ارائه می‌دهند (گینگراس و همکاران، ۲۰۰۱ و ۲۰۰۶) ابزارهای مناسبی برای بازسازی محیط سیالاخر، در رسوبات سازند آیتامیر در برش‌های مورد بررسی، *Cylinderichnus concentricus* تعداد پنج اثر فسیلی *Arenicolites*, *Thalassinoides* isp. و *tubularis* *Palaeophycus* isp. *Ophiomorpha* isp. شناسایی شدند. اثر فسیلی *Palaeophycus heberti* شناسایی شده در سازند آیتامیر بیشتر دریابی بوده و

اثر رخساره‌ها و اهمیت محیطی آن‌ها

تحلیل اثر فسیل‌ها ابزار خوبی برای شناخت فرآیندهای دیرینه بوم‌شناسی در طی رسوب‌گذاری حوضه است به ویژه هنگامی که ساختهای غیر زیستی اولیه رسوبی از بین رفته باشد (مالپاس و همکاران، ۲۰۰۵). از آنجا که اثر فسیل‌ها اطلاعات خوبی در مورد ژرفاسنجی، سطح ارزی، شرایط غذایی، میزان اکسیژن، یکنواختی بستر رسوبی، نرخ رسوب‌گذاری، فرسایش و چینه‌زنگاری

آرتنج و قرقه مورد بررسی قرار گرفته است. با بررسی اثر فسیل‌های موجود در سازند آیتمیر دو اثر رخساره کرووزیانا و گلوسی‌فانجیتیس شناسایی شدند.

محدوده خط ساحلی تا نواحی دور از ساحل را شامل می‌شود. با توجه به قابلیت اثر فسیل‌ها در تفسیر محیط رسوبی و با توجه به وجود فسیل‌های پیکری به همراه ویژگی‌های سنگ‌شناسی و رسوب‌شناسی، کاربرد اثر فسیل‌ها در بررسی محیط رسوبی آیتمیر در برش‌های



این اثر رخساره‌ای در محدوده محیطی گستردۀ از محیط‌های حاشیه دریایی تا دریایی کم عمق تشکیل می‌شود (توار و همکاران، ۲۰۰۷). اثر رخساره گلوسی‌فانجیتس در طول هیاتوس که محدود بینیک رویداد فرسایشی که عامل رخمنون بستر نیمه سفت و نهشته شدن رسوبات جوانتر بالایی است گسترش می‌یابد (داداگوپتا و بواتیس، ۲۰۱۲).

تالاسینوئیدها با حفاری‌های شبکه‌ای و Y شکل، برجسته، مرزهای شارپ و حفظ‌شدگی خوب، مشاهده شد که منعکس کننده شرایط بستر نیمه سفت شده، سیمانی شدن اولیه، رسوب‌گذاری خیلی آرام یا نبود رسوب‌گذاری (توار و همکاران، ۲۰۰۷) و پایداری بستر (فورزیش، ۱۹۸۰) در حاشیه ساحل هستند (مالپاس و همکاران، ۲۰۰۵). تالاسینوئیدهای شبکه‌ای معمولاً یک بستر سفت، نبودهای رسوبی با سطوح فرسایش یافته را نشان می‌دهند (گینگراس و همکاران، ۲۰۰۱) که این مشخصات ارتباط حفاری‌ها را با اثر رخساره گلوسی‌فانجیتس نشان می‌دهد، برای نمونه رسوبات سازند آیتمیر در باخته کپه‌داغ (شرفی و همکاران، ۲۰۱۲). اثر رخساره گلوسی‌فانجیتس مشاهده شده به طور کلی در مرز بین سنگ‌های گلی زیر و رسوبات دانه درشت بالا حفظ و چنین حفاری‌هایی با رسوبات دانه درشت‌تر پر شدند که به دلیل این که سرعت فشردگی دانه‌های رسوبات دانه برای رسیدن به حالت تحکیم بیشتر از رسوبات دانه درشت است بنابراین برای رسیدن به بستر سفت رسوبات دانه فرسایش با عمق کم کافی است ولی بسترها دانه درشت نیاز به فرسایش بیشتر دارند (بواتیس، ۲۰۱۲). حضور اثر رخساره گلوسی‌فانجیتس نتیجه نرخ رسوب‌گذاری آرام و زمان کافی برای کلونی شدن جانداران اثر ساز است. مشخصات این لایه با وجود محتوای کم گلاکونی، باروهای شبکه‌ای تالاسینوئید، محتوای خرددهای فسیلی و سیمانی شدن شدید نشان دهنده نرخ رسوب‌گذاری پایین و عدم رسوب‌گذاری است. رخساره کربناته سطح پیشروی به ضخامت ۲/۵ متر است که به شدت فرسایش یافته و خرد شده و همراه با جهت‌یابی تصادفی است. این لایه کربناته گلاکونیت‌دار به عنوان لایه پر فسیل پیشروندۀ در قاعده سیستم تراکت پیشروی اولیه است. باروهای پرشده با برجستگی مثبت و

اثر رخساره گلوسی‌فانجیتس

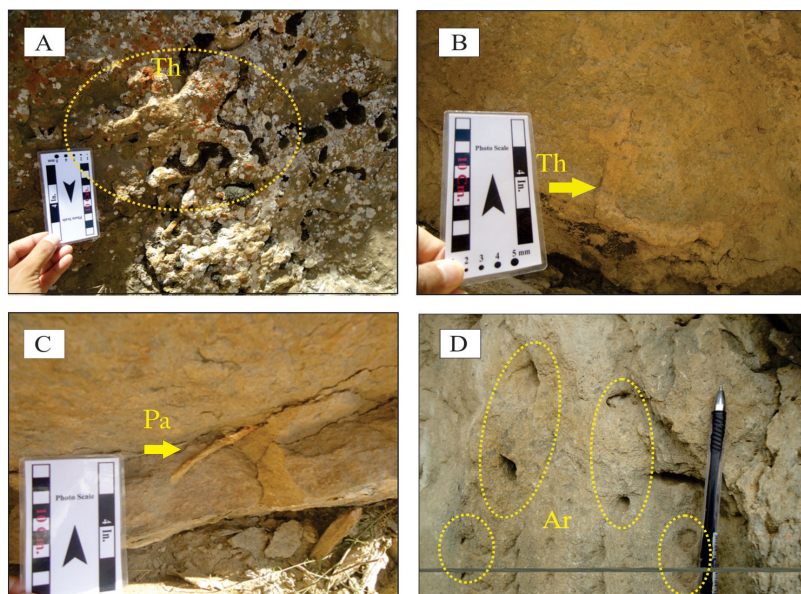
اثر رخساره گلوسی‌فانجیتس در بخش پایین برش آرتنج در بسترهای سنگ‌های کربناته به ضخامت ۲/۵ متر مشاهده شد. درجه خردش‌دگی، سایش در این لایه کربناته متنوع و در برخی بخش‌ها بسیار بالا است و ساختهای رسوبی لایه بندی مورب مسطح بزرگ مقیاس می‌لایه بندی مورب ناودانی مشاهده شدند. سنگ‌های کربناته در این اثر رخساره دارای دانه‌های گلاکونیت در جازا و سیمان کلسیتی با محتوای فونی شامل دوکفه‌ای، برآکیوپود، گاستروپود، اکینودرم، روزن‌داران و جلبک قرمز هستند (شکل C۸). اثر رخساره گلوسی‌فانجیتس در isp. Thalassionoides (شکل های A۷ و B۷) در سطح زیرین و Palaeophycus tubularis (شکل C۷) در سطح زیرین و (شکل های A۷ و B۷)isp. Arenicolitesisp. (شکل D۷) در سطح زیرین و بالای لایه کربناته است که تالاسینوئیدها فراوان تر هستند و به شکل شبکه‌ای و Y شکل مشاهده شدند. تجمعات گلی در قسمت زیرین لایه به طور ناپیوسته به وسیله چینه‌های کربناته در بالای سطح فرسایش پوشانده شدند. اثر فسیل‌ها نیز دارای تنوع پایین و درجه زیست‌آشفتگی متوسط هستند که عمدتاً به صورت مایل و عمودی نسبت به سطح افق قرار گرفتند.

اثر رخساره گلوسی‌فانجیتس شاخص محیطی نمی‌باشد و از لحاظ چینه‌نگاری سکانسی بسیار مهم است (مک کراکن و همکاران، ۲۰۰۷). کاربرد اثر رخساره گلوسی‌فانجیتس در تحلیل چینه‌نگاری سکانسی اساساً مرتبط با پیشروی سریع آب دریا یا سطح TS است (کریست و همکاران، ۲۰۱۲؛ اسچوارز و بواتیس، ۲۰۱۲ و یانک و همکاران، ۲۰۰۹). انواع چندگانه ناپیوستگی‌های فرسایشی از قبیل سطوح پسروی فرسایشی، مرزهای سکانسی و سطوح فرسایشی پیشروی و همچنین مرزهای سکانسی مختلط و سطوح سیلانی دریایی است و به ندرت به سطوح غیرفرسایشی مربوط می‌شود (اکونی و همکاران، ۲۰۱۶). اثر رخساره گلوسی‌فانجیتس نشان‌دهنده تشکیل در شرایطی با بستر نیمه سفت هستند و اکثراً شامل گل بدون آب و به صورت کمیاب‌تر در ماسه‌های فشرده نشده و سنگی نشده است و همچنین در بسترها کربناته نیز تشکیل می‌شوند (مک ایکن و همکاران، ۲۰۰۷) که انعکاسی از فرآیندهای فرسایشی آلوزنیک می‌باشد (بواتیس و مانگانو، ۲۰۰۹).

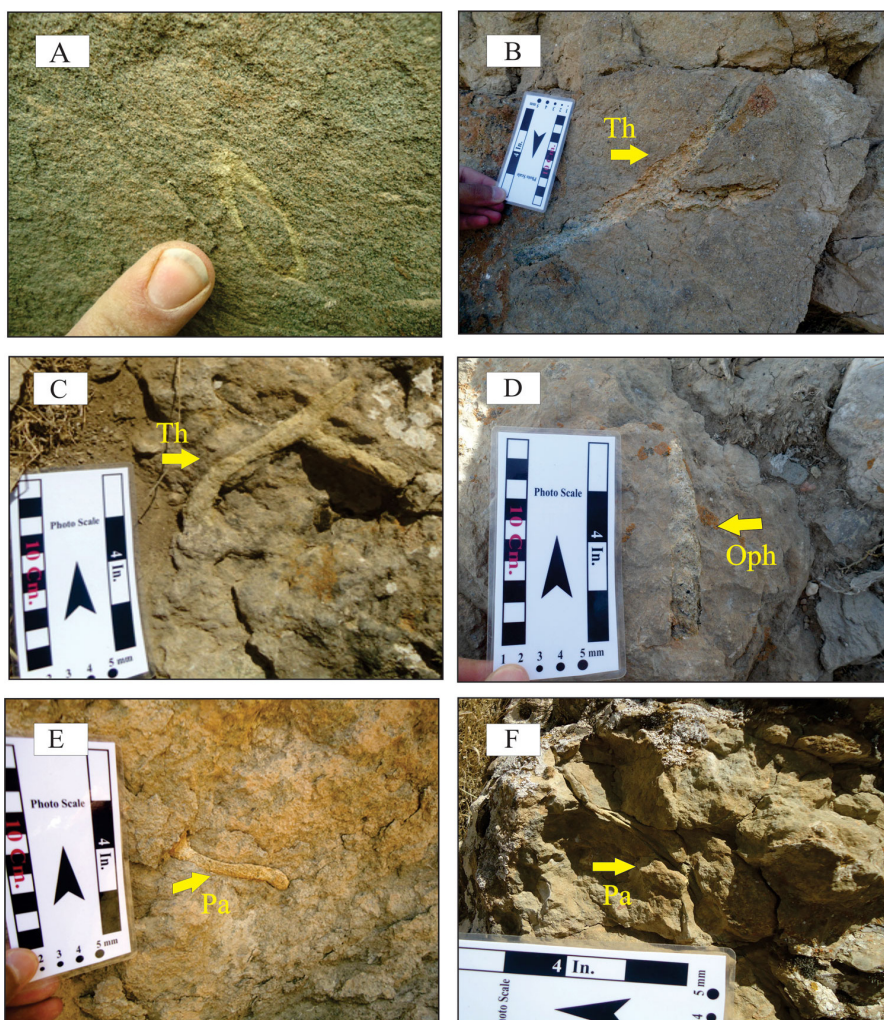
فسیل‌های معلق خوار آرنیکولاپیتس و پالئوفیکوس در این لایه نشانگر انرژی بالای اثر رخساره گلوسی‌فانجیتس است. حضور دانه‌های سبز گلاکونی در جازا (عقیقی و همکاران، ۱۳۹۲) نیز نشانگر تشکیل ماسه‌سنگ‌ها در محیط دریایی کم عمق و پرانرژی است (چافتر و رید، ۲۰۰۰) از طرفی نیز حضور ساخته‌های رسوبی لایه بندی مورب مسطح و تراف در این افق می‌تواند نشان‌دهنده انرژی بالای محیط باشد (لئونید و همکاران، ۲۰۱۲). نبود گل نیز بیان گر حمل و نقل دانه‌های رسوبی زیر تاثیر جریان‌های پرانرژی در محیط رسوب‌گذاری است (العزابی و العربی، ۲۰۰۵). بافت دانه‌پشتیبان با فراوانی روزن‌داران، جلبک قرمز، اکینوبدرم و دوکفه‌ای که در مقاطع میکروسوکوپی مشاهده شد نیز نشان‌دهنده انرژی متوسط تا زیاد محیط است (فورنیر و همکاران، ۲۰۰۴). با توجه به مطالب یادشده در بالا، حضور ساخته‌های رسوبی لایه بندی مورب مسطح و تراف، وجود سیمان کلسیتی و گل بسیار کم در زمینه، گلاکونی‌های در جازا و با توجه به اینکه اثر فسیل‌ها عمدتاً به صورت مایل تا عمودی در سطح بالایی و زیرین لایه قرار گرفته‌اند محیط تشکیل اثر رخساره گلوسی‌فانجیتس در سدهای نزدیک به ساحل در زمان پیشروی و بالا آمدن سطح آب دریا و در شرایطی با انرژی بالا است.

تمرکز گلاکونی، در طول مرحله فرسایشی که نتیجه کاهش رسوبات است تولید شده‌اند. احتمالاً تولید کنندگان اثر فسیل تالاسینوئید در طول مرحله‌ای که نرخ رسوب‌گذاری صفر است عمل می‌کنند (قبائود و همکاران، ۱۹۹۶). در طول این مرحله باروها به عنوان حبس‌کنندگان گلاکونی عمل می‌کنند. پایین رفتن و وقفه رسوب‌گذاری به دلیل از دست دادن آب و سیمانی شدن باعث افزایش چسبندگی بستر و گسترش بستر نیمه سفت می‌شود (تاور و همکاران، ۲۰۰۶). زمانی که در آن کف دریا رخمنون می‌یابد ممکن است مهم‌ترین احتمال برای گسترش کف بستر نیمه سفت باشد. به طور خلاصه بستر نیمه سفت مرتبط با سطوح پیشرونده در سازند آیتمیر است که به وسیله دیواره‌های شارپ، بر جسته، تالاسینوئیدهای شبکه‌ای که درون آن افق‌های سیمانی شده با گلاکونی بالا و خردکهای شدیداً فرسایش و سایش یافته هستند مشخص می‌شود.

تنوع کم اثر فسیل‌ها در اثر رخساره گلوسی‌فانجیتس می‌تواند دلیلی بر انرژی بالای محیط رسوبی باشد، برای مثال (فورزیش و همکاران، ۲۰۰۶ و پیرسون و همکاران، ۲۰۱۲). اثر جنس‌های بسترها نیمه سخت شده، می‌توانند توسعه جانداران تغذیه کننده از مواد معلق در آب در نواحی پر انرژی محیط رسوبی ایجاد شوند (مک ایکن و همکاران، ۲۰۰۷) که فراوانی کم و حضور اثر



شکل ۷. مجموعه اثر فسیل‌ها در اثر رخساره گلوسی‌فانجیتس، A اثر فسیل شبکه‌ای Thalassinoides isp. در برش آرتنج، B اثر فسیل Y شکل Thalassinoides isp. در برش آرتنج، C اثر فسیل Paleophyscus Tubularis در برش آرتنج، D اثر فسیل Arenicolites isp. در برش آرتنج



شکل ۸. مجموعه اثر فسیل‌ها در اثر رخساره کروزیانا، A اثر فسیل *concentricusCylindrichnus* در برش قرقره، B اثر فسیل *Thalassinoides* isp. با بر جستگی منفی در برش قرقره، C اثر فسیل *Thalassinoides* isp. با بر جستگی مثبت در برش قرقره، D اثر فسیل *Paleophyscus heberti* اثر فسیل E اثر فسیل *Ophiomorpha* isp. در برش قرقره، F اثر فسیل *Paleophyscus heberti* در برش قرقره *tubularis*

سطح افق با زیست‌آشنگی بالا دیده شدند. در برش آرتچ تعداد بیشتری از لایه‌های ماسه‌سنگی دارای اثر فسیلی بودند. *Thalassinoides* و *Paleophyscus* از فراوان‌ترین اثر فسیل‌ها در هر دو برش به شمار می‌رود. اثر فسیل تالاسینوئید به شکل Y است. بسترهایی که اثر رخساره کروزیانا در آن مشاهده شد از ماسه‌سنگ‌های دانه متوسط تا دانه‌ریز با جورش‌گی متوسط و گاهی با حضور کمی خردکهای اسکلتی از نوع دوکفه‌ای و هتروهله‌لیکس هستند. ساخت رسوبی لامیناسیون موازی نیز در این ماسه‌سنگ‌ها مشاهده شد. در مطالعات میکروسکوپی زمینه این سنگ‌ها از سیمان کلسیتی

اثر رخساره کروزیانا

اثر رخساره کروزیانا برای نخستین بار توسط سیلاخر (۱۹۶۷) معرفی شد و تنوع گونه‌ها در این ایکنوفاسیس نسبتاً بالا و از حفظ شدگی خوبی برخوردار است. اثر رخساره کروزیانا در برش‌های مورد مطالعه شامل اثر فسیل‌های *Cylinderichnous Concentricus* (شکل A8)، *Thalassionoides* (شکل B8)، *Paleophyscus heberti* (شکل C8)، *Ophiomorpha* isp. (شکل D8)، *Palaeophyscus tubularis* (شکل E8) و *Arenicolites* isp. (شکل F8) است که در قسمت پایینی برش‌های مورد بررسی و عمدهاً به صورت افقی، مایل و در موارد اندک نیز به صورت عمودی نسبت به

لامیناسیون موازی مشاهده شده در ماسه‌سنگ‌های مورد بررسی در سرعت‌های پایین و بالای جریان آب حاصل می‌شود (لی و چوناق، ۲۰۰۶) که رخساره‌های سنگی دارای اثر فسیل‌های مانند *Thalassinoides*، *Ophiomorpha* و *Paleophycus*، کروزیانا و نشانگ انرژی متوسط و مواد غذایی فراوان در بخش‌های پایینی تا میانی حاشیه ساحل هستند، برای مثال رسوبات پلیوسن زیرین جنوب‌باخته اسپانیا (آکوئیر و همکاران، ۲۰۱۰) و رسوبات ژوراسیک زیرین سازند (بروملی، ۱۹۹۰) و در برخی دریاچه‌ها، مرداب‌های پشت سدی و پهنه‌های کشنندی نیز گسترش داشته باشد (فری و همکاران، ۱۹۹۰). اثر رخساره کروزیانا به وسیله حضور *Cylindrichnousconcentricus* در ماسه‌سنگ‌ها نیز نشان از محیط حاشیه ساحل است (چانگ و همکاران، ۲۰۰۸) و فورزیش و هتروهليکس با حفظشدنگی کم در بین دانه‌های سیلیسی آواری نیز نشان از وجود دوره‌های با جریان‌های انرژی بالا می‌باشد (خلیقه و همکاران، ۲۰۰۶) که باعث حمل خردنهای فسیلی به سوی حاشیه ساحل شده است.

با توجه به مطالب بالا و اثر فسیل‌های شناخته شده و حضور آن‌ها به صورت‌های مایل و تعداد کمتری قائم و افقی نسبت به سطوح لایه‌بندی، لامیناسیون موازی، حضور گلاکونی‌های درجازا و نیمه برجا و جورشدنگی متوسط تا کم و الگوهای رفتاری متنوع با شاخص زیست آشفتگی نسبتاً بالا نشان‌دهنده اثر رخساره کروزیانا با انرژی متوسط در حاشیه ساحل و غنی از مواد غذایی و سرعت رسوب‌گذاری نسبتاً پایین است. از بخش‌های پرانرژی‌تر بالای حاشیه ساحل به سمت دور از ساحل بر فراوانی، تنوع و اندازه اثر فسیل‌ها افزوده شده است. اثر رخساره گلوسی‌فانجیتس در برش‌های مورد بررسی در شرایطی با انرژی بالاتر نسبت به اثر رخساره کروزیانا تشکیل شده است (شکل ۹).

نتیجه‌گیری

در رسوبات آواری- کربناته سازند آیتمامیر در برش‌های مورد مطالعه ۵ اثر جنس فسیلی شامل *Thalassinoides*، *Cylinderichnousconcentricus* sp., *OphiomorphaArenicolites* sp., sp. *Paleophycustubularis* و *Palaeophycus heberti* ۲

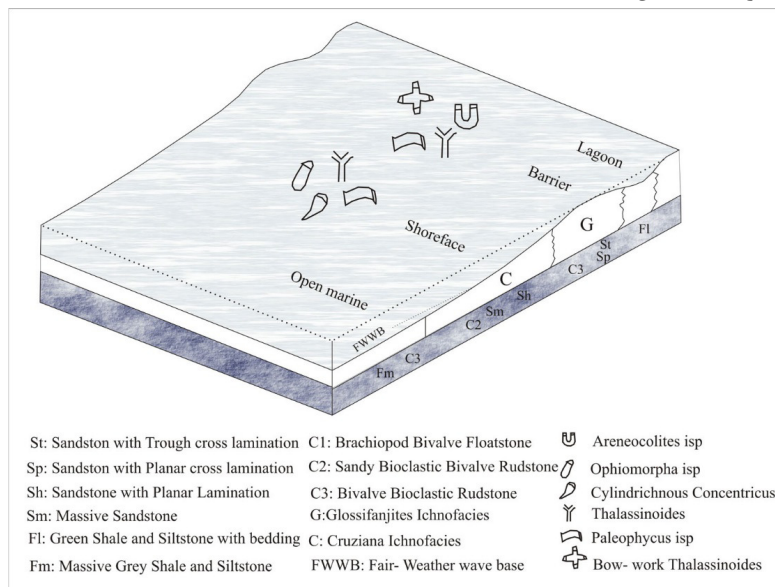
همراه با مقادیر زیادی گلاکونی‌های برجا و نیمه‌برجا و مقدار کمی گل است.

اثر رخساره کروزیانا در موقعیت‌های فروکشنندی تا میان کشنندی (لونی و همکاران، ۲۰۱۶) و به طور شاخص در حد فاصل بین سطح اساس امواج عادی و سطح اساس امواج توفانی در فلات‌های قاره یا دریاهای کم عمق تشکیل می‌شود. پژوهش‌هایی هم نشان داده که این رخساره می‌تواند در محیط‌هایی مانند مرداب و خلیج (بروملی، ۱۹۹۰) و در برخی دریاچه‌ها، مرداب‌های پشت سدی و پهنه‌های کشنندی نیز گسترش داشته باشد (فری و همکاران، ۱۹۹۰). اثر رخساره کروزیانا به وسیله حضور حفاری‌های افقی، مایل و گاهی عمودی مشخص می‌شوند که دست‌یابی به مواد غذایی در آن فراوان است (اکونی و همکاران، ۲۰۱۶). اثر فسیل‌ها در ایکنوفاسیس کروزیانا نشان‌دهنده فعالیت جانوران تعذیه کننده از رسوبات و معلق‌خواران در محیط‌های حاشیه ساحلی و دور از ساحل و تیپیک بستر نرم در ماسه‌های ریز تا متوسط دانه است (تیواری و همکاران، ۲۰۱۱). در سازند آیتمامیر افزایش در تنوع اثر فسیل‌ها و درجه آشفتگی زیستی بالا نشان‌دهنده محیط حاشیه ساحل با انرژی نسبتاً کم تا متوسط و سرشار از مواد غذایی با نرخ رسوب‌گذاری کم است که زیر شرایط نرمال دریاچه گسترش یافته‌اند مانند رسوبات جنوب‌خاور نیجریه (اکونی و همکاران، ۲۰۱۶) و رسوبات پلیوسن زیرین جنوب اسپانیا (آکوئیر و همکاران، ۲۰۱۰).

حضور گلاکونی برجا و نیمه برجا از دیگر ویژگی‌های این ماسه‌سنگ‌ها است (عقیقی و همکاران، ۱۳۹۲). گلاکونی‌های نیمه‌برجا در سازند آیتمامیر با داشتن ویژگی‌هایی مانند حاشیه اکسید آهن در اطراف گلاکونی، حاشیه‌ای از سیمان رشتهدی اطراف دانه‌های گلاکونی، گردشدنگی و جورشدنگی نسبتاً خوب شناخته شده‌اند (عقیقی و همکاران، ۱۳۹۲) که نشان از محیط حاشیه ساحل هستند (آموروسی، ۱۹۹۷). حضور دانه‌های سبز گلاکونی برجا نیز نشانگ تشکیل این ماسه‌سنگ‌ها در محیط دریایی کم عمق و پرانرژی است، برای نمونه رسوبات مرکز تایوان (چانگ و همکاران، ۲۰۰۸). در این اثر رخساره‌ای تنوع نسبتاً بالای جانوری سبب ایجاد انواع ساختمان‌های بیوژنیک شده که این امر، در اثر تنوع رفتاری موجودات ایجاد گردیده است.

پرانرژی سدی است. اثر رخساره کروزیانا شامل اثر فسیل‌های شامل *Cylinderichnous concentricus* isp., *Arenicolites isp.*, *Thalassinoides isp.*, *Paleophycus* و *Palaeophycus heberti*. *Ophiomorpha tubularis* در بستر ماسه‌سنگی با جورشده‌گی کم تا متوسط همراه با اثر فسیل‌های افقی و مایل هستند که در شرایط با انرژی پایین‌تر از رخساره گلوسی‌فانجیتس و در حاشیه ساحل تشکیل شده‌اند.

اثر رخساره کروزیانا و گلوسی‌فانجیتس شناسایی شده است. اثر رخساره گلوسی‌فانجیتس با تنوع کم اثر فسیلی *Thalassinoides* و حضور اثر فسیل‌های *Arenicolites isp.*, *Paleophycus heberti* اثر فسیل تالاسینوئید شبکه‌ای که در بستری از سنگ‌های کربناته با جورشده‌گی نسبتاً خوب، اثر فسیل‌های مایل و عمودی همراه با لایه بندی مورب مسطح و تراف قرار دارند که نشان‌دهنده محیط نسبتاً



شکل ۹. مدل رسوبی سازند آینامیر در برش‌های آرتنج و قرقه بر پایه رخساره‌های سنگی، اثر فسیل‌ها و اثر رخساره‌ها (اقتباس با تغییراتی از عقیقی و همکاران، ۱۳۹۳)

جدول ۱. ویژگی‌های اثر رخساره‌های سازند آینامیر در برش‌های آرتنج و قرقه (عقیقی و همکاران، ۱۳۹۳)

محیط رسوبی اثر رخساره‌ای	اثر فسیلی	ساخت رسوبی	محتویات فسیلی	لیتوژوژی	رسخاره سنتگی
حاشیه ساحل	Cylindrichnous Concentricus Paleophycus, Arenicolites, Ophiomorpha	دوکنه‌ای و هترو‌هیلیکس لامیناسیون موازی و طبقه‌بندی مسطح ماسه سنگ‌های منوسط تا ریز دانه با جورشده‌گی منوسط	C1: Brachiopod Bivalve Floatstone C2: Sandy Bioclastic Bivalve Rudstone C3: Bivalve Bioclastic Rudstone	St: Sandstone with Trough cross lamination Sp: Sandstone with Planar cross lamination Sh: Sandstone with Planar Lamination Sm: Massive Sandstone	Sh
حاشیه ساحل	Cylindrichnous Concentricus Paleophycus, Thalassinoides	دوکنه‌ای توده‌ای، منوسط تا ریز دانه با جورشده‌گی منوسط تا کم	دوکنه‌ای	Sm	
سد	Thalassinoides	لامیناسیون مورب تراف	لامیناسیون مورب تراف	St	
سد	Thalassinoides	لامیناسیون مورب مسطح	لامیناسیون مورب مسطح	Sp	
لاغون		لایه بندی مسطح شیل و سیلیستون‌های سبز تا خاکستری با لایه بندی و دارای پوک‌های زیپس و گلاکونی‌های نایاب	لایه بندی مسطح	Fl	
دریاچه باز		شیل و سیلیستون‌های خاکستری با ضخامت زیاد	دوکنه‌ای و هترو‌هیلیکس	Fm	
دریاچه باز		دوکنه‌ای، برآکیوپود و هترو‌هیلیکس	دوکنه‌ای، برآکیوپود با	C1	
حاشیه ساحل		دوکنه‌ای، برآکیوپود، جلیک قرمز و بریوزوفر و کاستروپود	دوکنه‌ای، برآکیوپود، اکینودرم طبقه‌بندی مورب مسطح در مقیاس تراکم بالا از خوده‌های اسکلتی با درجه پایین از خردشده‌گی و سایش در زمینه گل آهکی	C2	
سد	Thalassinoides isp., Paleophycus, Glossifunjites Arenocolites isp	دوکنه‌ای، برآکیوپود، جلیک قرمز و بریوزوفر و کاستروپود	دوکنه‌ای، برآکیوپود، اکینودرم طبقه‌بندی مورب مسطح در مقیاس تراکم بالا از خوده‌های اسکلتی با درجه پایین از خردشده‌گی و سایش تقریباً بالا و جورشده‌گی ضعیف	C3	

- Formation, Sydney Basin, Australia in McIlroy, D. (ed), *The Application of Ichnology to Palaeoenvironmental and Stratigraphic Analysis*, Lyell Meeting 2003, The Geological Society of London, 228: 179-211.
- Bromley, R.G (1990) Trace fossils: biology and taphonomy, Academic Division of Unwin Hyman Ltd, 280 p.
- Buatois, L.A., Mángano, M.G (2009) Applications of ichnology in lacustrine sequence stratigraphy: potential and limitations, *Palaeogeography, Palaeoclimatology, Palaeoecology*, 272: 127-142.
- Chafetz, H.S., Reid, A (2000) Syndepositional shallow- water precipitation of glauconitic minerals, *Sedimentary Geology*, 136: 29-42.
- Chang, S.S., Shau, Y.H., Wang, M.K., Ku, C.T., Chiang, P.N (2008) Mineralogy and occurrence of glauconite in central Taiwan, *Applied Clay Science*, 42: 74-80.
- Christ, N., Immenhauser, A., Amour, F., Mutti, M., Tomas, S., Agar, S.M., Alway, R., Kabiri, L (2012) Characterization and interpretation of discontinuity surfaces in a Jurassic ramp setting (High Atlas, Morocco), *Sedimentology*, 59: 249-290.
- Dasgupta, S., Buatois, L.A (2012) Unusual occurrence and stratigraphic significance of the Glossifungites ichnofacies in a submarine paleo-canyon- Example from a Pliocene shelf-edge delta, Southeast Trinidad, *Sedimentary Geology*, 269-270: 69-77.
- Diaz, E., Prasad, M., Gutierrez, M.A., Dvorkin, J., Mavko, G (2002) Effect of Glauconite on the Elastic Properties, Porosity, and Permeability of Reservoirs Rocks, AAPG Annual Meeting, 1-7.
- Ekdale, A.A., Bromley, R.G., Pemberton, S.G (1984) Ichnology: Trace fossils in Sedimentology and Stratigraphy, Society of Economic Paleontologists and Mineralogists, Short Course 15, 317pp.
- Ekwenye, O.C., Nichols, G., Okogbue,C.O., Mode,A.W (2016) Trace fossil assemblages in the tide dominated estuarine system: Ameki Group, southeastern Nigeria, *African Earth Sciences*, 118: 284-300.
- El-Azabi, M.H., El-Araby, A (2005) Depositional facies, environments and sequence stratigraphic interpretation of the Middle Triassic-Lower Cretaceous (pre-Late Albian) succession in Arif El-Nagaanticline, northeast Sinai, Egypt, *African Earth Sciences*, 41:119-143.
- Embry, A.F., Kloven, J.E (1971) A Late Devonian reef tract on northeastern Banks Island, Northwest Territories, *Bulletin Canadian Petroleum Geology*, 19: 730-781.
- Flügel, E (2010) Microfacies Analysis of Carbonate Rocks: Analysis, Interpretation and

سپاسگزاری

از گروه زمین‌شناسی دانشکده علوم دانشگاه فردوسی مشهد به خاطر در اختیار گذاشتن امکانات میدانی و آزمایشگاهی سپاسگزاری می‌شود (طرح پژوهشی شماره ۳/۲۳۴۴۸). از همکاری آقای دکتر فورزیش از دانشگاه ولسبروگ و آقای دکتر شرفی از دانشگاه فردوسی که در شناسایی اثر فسیل‌ها و رخساره‌های فسیلی ما را یاری دادند تشکر می‌شود. در پایان از داوران گرامی این مقاله که با نظرات سازنده خود در ارتقای سطح علمی این مقاله کمک کرده‌اند سپاسگزاری می‌شود.

منابع

- حسینی‌برزی، م، بایت‌گل، آ (۱۳۸۹) تحلیل رخسارهای و محیط رسوبی نهشته‌های سیلیسی آواری- کربناته سازند شیرگشت در بلوک کلمرد ایران مرکزی، *رخساره‌های رسوبی*، جلد ۲، شماره ۱، ص ۲۴-۶۰.
- عقیقی، ر، موسوی‌حرمی، ر، محبوبی، ا، خانه‌باد، م (۱۳۹۲) بررسی سازوکار تشکیل گلاکونی‌های سازند آیتمیر در ناحیه بزنگان- شرق حوضه رسوبی کپه‌داغ، مجموعه مقالات هفدهمین همایش انجمن زمین‌شناسی ایران، دانشگاه شهید بهشتی، ۱۱۲-۱۲۰.
- عقیقی، ر، موسوی‌حرمی، ر، محبوبی، ا، خانه‌باد، م (۱۳۹۳) محیط‌رسوبی و چینه‌نگاری سکانسی نهشته‌های مخلوط سیلیسی آواری کربناته سازند آیتمیر (ناحیه بزنگان- شرق حوضه رسوبی کپه‌داغ)، *رخساره‌های رسوبی*، جلد ۷، شماره ۲، ۲۴۴-۲۶۷.
- Amorosi, A (1997) Detecting compositional, spatial and temporal attributes of glaucony: a tool for provenance research, *Sedimentary Geology*, 109: 135-153.
- Aguirre, J., J.M. de., Gibert, A., Puga-Bernabéu (2010) Proximal-distal ichnofabricchanges in a siliciclastic shelf, Early Pliocene, Guadalquivir Basin, southwest Spain, *Palaeogeography, Palaeoclimatology, Palaeoecology*, 291: 328 - 337.
- Baccelle, L., Bosellini, A (1965) Diagrammi per la stima visiva della composizione percentuale nelle rocche sedimentary. *Annali dell'università di Ferrara, Sience Geologiche Palenotologiche*, 3: 59-62.
- Bann, K.L., Fielding, C.R., MacEachern J.A (2004) Differentiation of estuarine and offshore marine deposits using integrated ichnology and sedimentology: Permian Pebble Beach

- Analysis, Geological Society, London, Special Publication, 228: 179-212.
- Mahboubi, A., Moussavi-Harami, R., Carpenter, S.J., Aghaei, A., Collins, L.B (2010) Petrographical and Geochemical evidences for paragenetic sequence interpretation of diagenesis in Mixed siliciclastic- carbonate sediments: Mozduran Formation (upper jurassic), south of aaghdarband, NE Iran, Carbonates and Evaporites, 25: 231-246.
- Malpas, J.A., Gawthorpe, R.L., Pollard, J.E., Sharp, I.R (2005) Ichnofabric analysis of the shallow marine Nukhul Formation (Miocene), Suez Rift, Egypt, implications for depositional processes and sequence stratigraphic evolution: occurrence of glauconite in central Taiwan, Applied Clay Science, 42: 74- 80.
- Patra, A., Singh, B.P (2015) Facies characteristicsand depositional environments of the Paleocene- Eocene strata of the Jaisalmer basin, western India, Carbonates and Evaporites, 30: 331-346.
- Pearson, N.J., Mangano, M.G., Buatois, L.A., Casadío, S., Raising, M.R (2012) Ichnology,sedimentology and sequence stratigraphy of outer-estuarine and coastalplain deposits: implications for the distinction between allogenic and autogenic expressions of the Glossifungites ichnofacies, Palaeogeography. Palaeoclimatology, Palaeoecology, 333: 192-217.
- Pemberton, S.G., R.W., Frey (1982) Tracefossil nomenclature and the Planolites- Palaeophycus dilemma, Palaeontology, 56: 843-881.
- Pickerill, R., Romano, M., Meléndez, B, (1984), Arenig trace fossils from the Salamancaarea, western Spain, Geological Journal, 19:249-264.
- Rodriguez-Tovar, F.J., Perez-Valera, F (2008) Trace fossil Rhizocorallium from the middle Triassic of theBetic Cordillera, southern Spain: characterization and environmental implications, Palaios, 23: 78-86.
- Schwarz, E., Buatois, L (2012) Substrate-controlled ichnofacies along a marine sequence boundary: The Intra-Valanginian Discontinuity in central Neuquén Basin (Argentina), Sedimentary Geology, 277-278: 72-87
- Seilacher, A (1967) Bathymetry of trace fossils,Marine Geology, 5: 413- 428.
- Seilacher, A (2006) Trace Fossil Analysis, Springer, 225p.
- Selley,R.C (1996) Ancient Sedimentary Environments and their Subsurface Diagnosis, Chapman & Hall, London, 300 p.
- Sharafi, M., Ashuri, M., Mahboubi, A., Moussavi-Harami, R (2012) Stratigraphic application of Thalassinoides ichnofabric in delineating sequence stratigraphic surfaces (Mid-Application, 2nd edition, Springer-Verlag, 984p.
- Folk, R.L (1980) Petrology of sedimentary rocks, Hemphill, Austin, Texas,182p.
- Fournier, F., Montaggioni, L., Borgoman, J (2004) Paleoenvironments and high-frequency cyclicity fromCenozoic South-East Asian shallow-water carbonates: a case study from the Oligo-Miocene buildups ofMalampaya (Offshore Palawan, Philippines), Marine and Petroleum Geology, 21: 1-21.
- Frey, R.W., Goldring, R (1992) Marine event beds and recolonization surfaces as revealed by trace fossil analysis, Geological Magazine, 129: 325- 335.
- Frey, R.W., Pemberton, S.G., Saunders, T.D.A (1990) Ichnofacies and bathymetry: a passive relationship, Paleontology, 54:155-158.
- Fürsich,F.T (1998) Environmental distribution of trace fossils in the Jurassic of Kachchh (Western India), Facies, 39: 243-272.
- Fürsich, F.T., Wilmsen, M., Seyed-Emami, K (2006) Ichnology of Lower Jurassic beach deposits in thbeach deposits in the Shemshak Formation at Shahmirzad, southeastern Alborz Mountains, Iran, Facies, 52: 599-610.
- Ghibaudo, G., Grandesso, P., Massari, F., Uchman, A (1996) Use of trace fossils in delineating sequence stratigraphic surfaces (Tertiary Venetian Basin, northeastern Italy): Palaeogeography, Palaeoclimatology, and Palaeoecology, 120: 261-279.
- Gingras, M.K., Pemberton,S.G., Saunders,T.D.A (2001) Bathymetry, sedimenttexture and substrate cohesiveness: theirimpact on Glossifungites trace assemblages atWillapa Bay, Washington:Palaeogeography, Palaeoclimatology, and Palaeoecology, 169: 1- 21.
- Khalife, M.A., Soliman, H.E., Wanas, H.A (2006) The Cambrian Araba Formation in northeastern Egypt: Facies and depositional environments, Asian Earth Science, 27: 873-884.
- Lee, H.S., Chough, S.k (2006) Lithostratigraphy and depositional environments of the Pyeongan Supergroup (Carboniferous-Permian) in the Taebaek area, mid-east Korea, Asian Earth Sciences, 26: 339-352.
- Leonide, P., Borgoman, J., Masse, J.P., Doublet, S (2012) Relation between stratigraphic architecture and multi- scale heterogeneities in carbonate platforms: the Barmian- Lower Aptian of the Monts de raucluse, SE, France, Sedimentary Geology, 265: 86-109.
- MacEachern, J.A., Bann, K.L., Pemberton, S.G., Gingras, M.K (2007) The ichnofacies paradigm: High-resolution paleoenvironmental interperereto of the rock record. In: McIlroy, D. (ed.), The Application of Ichnology to Palaeoenvironmental and Stratigraphic

- Cretaceous), Kopet-Dagh Basin, northeastern Iran Palaeoworld, 21: 202–216.
- Taylor, A.M., Goldring, R (1993) Description and analysis of bioturbation and ichnofabric: Geological (Society (London)), 150: 141–148.
- Tiwari, P., Chinmoy Rajkonwar, C., Lalchawimawii, Lalnuntluanga, P., Malsawma, J., Z Ralte, V.Z., Patel, S.J (2011) Trace fossils from Bhuban Formation, Surma Group (Lower to Middle Miocene) of Mizoram India and their palaeoenvironmental significance, Earth System Science, 120: 1127-1143.
- Tovar, F.J.R., Valera, F.P., López, A.P (2007) Ichnological analysis in highresolution sequence stratigraphy: the Glossifungites ichnofacies in Triassic successions from the Betic Cordillera (southern Spain), Sedimentary Geology, 198: 293-307.
- Tucker, M.E (2001) Sedimentary Petrology: an introduction to the origin of sedimentary rocks, Blackwell, Scientific Publication, London, 260 p.
- Warren, W.J (2000) Dolomite: Occurrence, evolution and economically important association, Earth ScienceReview, 52:1-18.
- Yang, B.C., Dalrymple, R.W., Gingras, M.K., Pemberton, S.G (2009) Autogenic occurrence of Glossifungites Ichnofacies: Examples from wave-dominated, macrotidal flats, southwestern coast of Korea, Marine Geology, 260: 1–58.